

## ЛИТЕРАТУРА

1. Д. И. Агейкин, Е. Н. Костина, Н. Н. Кузнецова. Датчики контроля и регулирования. М., «Машиностроение», 1965.
2. Л. Ф. Куликовский. Индуктивные измерители перемещений. М., Госэнергоиздат, 1961.
3. Л. Ф. Куликовский, М. Ф. Зарипов. Индуктивные преобразователи перемещений с распределенными параметрами. М., «Энергия», 1966.
4. Л. Ф. Куликовский, Л. А. Бровкин, Б. Я. Лихтциндер. Автоматические приборы с бесконтактными компенсирующими преобразователями. М., «Энергия», 1967.
5. М. Ф. Зарипов. Преобразователи с распределенными параметрами. М., «Энергия», 1967.
6. Т. А. Макаров. Плотномер. Авторское свидетельство № 238861.—ОИПОТЗ, 1969, № 10.
7. Т. А. Макаров. Командоаппарат. М., ГОСИНТИ, ОМТ, серия III, № 100/23—69, 1969.
8. Т. А. Макаров. Сигнализатор линейных перемещений. Авторское свидетельство № 243871.—ОИПОТЗ, 1969, № 17.
9. Т. А. Макаров. Устройство для измерения расхода, уровня и давления. Авторское свидетельство № 248276.—ОИПОТЗ, 1969, № 23.
10. Т. А. Макаров. Устройство для измерения уровня, плотности и границы раздела жидкостей. Авторское свидетельство № 287342.—ОИПОТЗ, 1970, № 35.
11. Ф. А. Ступель. Электромеханические датчики и преобразователи неэлектрических величин. М., «Энергия», 1965.
12. И. В. Бутусов. Автоматические контрольно-измерительные приборы. Л., Гостоптехиздат, 1963.
13. Б. К. Буль. Основы теории и расчета магнитных цепей. М., «Энергия», 1964.
14. В. П. Адеев, И. И. Пеккер. Расчет дифференциально-трансформаторного преобразователя перемещения соленоидного типа.—ИВУЗ, Электромеханика, 1968, № 4.
15. Л. Х. Шидлович. Дифференциальные трансформаторы и их применение. М., «Энергия», 1966.

Поступила в редакцию  
4 января 1971 г.,  
окончательный вариант —  
11 марта 1971 г.

УДК 621.317+621.3.032

А. Х. МУРСАЕВ, Е. П. УГРЮМОВ  
(Ленинград)

### ФУНКЦИОНАЛЬНЫЕ ПРЕОБРАЗОВАТЕЛИ И МНОЖИТЕЛЬНО-ДЕЛИТЕЛЬНОЕ УСТРОЙСТВО С УПРАВЛЯЕМЫМИ ДЕЛИТЕЛЯМИ НАПРЯЖЕНИЯ НА КАНАЛЬНЫХ ТРАНЗИСТОРАХ

Применение канальных транзисторов (КТ) в качестве управляемых сопротивлений позволяет строить ряд простых, быстродействующих и точных устройств автоматики и вычислительной техники. В настоящее время известен целый ряд линейных и множительно-делительных устройств с использованием управляемых делителей напряжения (УДН) на КТ. Достаточно подробную библиографию по устройствам такого рода можно найти в [1, 2].

В настоящем сообщении показаны возможности создания точных нелинейных схем с УДН. Предлагается усовершенствованная схема УДН и описывается конкретное устройство с применением интегральных схем.

Управляемым делителем напряжения называют звено, имеющее характеристику

$$U_{\text{вых}} = U_0 f(\alpha), \quad (1)$$

где  $\alpha$  — некоторое управляющее воздействие. УДН на КТ строится по схеме с одним постоянным сопротивлением и одним управляемым сопротивлением, роль которого вы-

полняет канальный транзистор, работающий на крутом участке вольт-амперной характеристики (рис. 1, а).

Известно, что если КТ с  $p-n$  переходом [2]

$$U_c \ll Q/C_{30} + U_3/2,$$

то

$$I_c = G_0 \left( 1 + \frac{(U_3 - U_c/2) \sqrt{1 + \frac{U_3 - U_c/2}{\varphi}}}{Q/C_{30}} \right) U_c,$$

где  $U_c$  — напряжение на стоке транзистора;  $Q$  — заряд подвижных носителей в канале;  $C_{30}$  — емкость между затвором и каналом при  $U_3 - U_c/2 = 0$ ;  $U_3$  — напряжение на затворе;  $G_0$  — проводимость открытого канала.

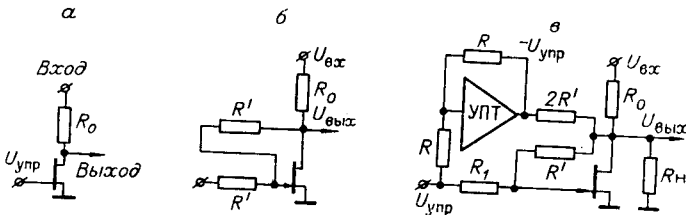


Рис. 1.

Нетрудно показать, что простое последовательное соединение резистора и КТ не обеспечивает достаточно точного выполнения (1). Для линеаризации сопротивления канала следует подавать на затвор напряжение, связанное с управляющим воздействием соотношением

$$U_3 = U_{\text{упр}}/2 + U_c/2. \quad (2)$$

Тогда

$$I_c = G_0 \left( 1 + \frac{U_{\text{упр}} \sqrt{1 + U_{\text{упр}}/2\varphi}}{2Q/C_{30}} \right) U_c = U_c G_0 f'(U_{\text{упр}});$$

$$U_{\text{вых УДН}} = \frac{U_0 g_0}{g_0 + G_0 f'(U_{\text{упр}})} = U_0 f(U_{\text{упр}})$$

( $g$  — здесь и далее проводимость соответствующего резистора). Обычно соотношение (2) реализуют с помощью пассивных суммирующих цепей (см. рис. 1, б). Недостатком такой схемы является влияние источников суммируемых сигналов друг на друга. Условие (1) может быть выполнено только при очень больших сопротивлениях  $R'$  (не менее 1 МОм). Использование таких сопротивлений нежелательно, так как, во-первых, точные резисторы высоких номиналов имеют большие габариты и не могут быть реализованы ср. доставами интегральной технологии. Во-вторых, применение высокоомных резисторов существенно снижает быстродействие схемы.

Целесообразно компенсировать влияние  $U_{\text{упр}}$  на цепь деления за счет подачи противофазного сигнала. Для схемы рис. 1, в

$$(U_0 - U_c) g_0 - (U_c + U_{\text{упр}}) \frac{g'}{2} = (U_c - U_{\text{упр}}) \frac{g'}{2} + U_c g_n + U_c G_0 f'(U_{\text{упр}}),$$

а значит,

$$U_c = \frac{U_0 g_0}{g'_n + g' + G_0 f'(U_{\text{упр}}) + g_n} = U_0 f(U_{\text{упр}}),$$

а цепь управления влияет как линейная нагрузка. Таким образом, схема рис. 1, в имеет требуемые характеристики.

Как показали исследования, нелинейность схемы по каналу передачи  $U_0$  при  $U_c < 100$  мВ и  $R' = 20 \div 100$  кОм не превышает 0,1 %.

Использование УДН рис. 1 как функционального преобразователя прямого действия, видимо, невозможно: во-первых, функция, реализуемая им, весьма специфична, а во-вторых, параметры транзистора, входящие в функцию  $f'$ , температурно нестабильны.

Эффективным оказывается применение такого УДН в схемах с подбором управляющего напряжения по замкнутой схеме, изображенной на рис. 2. Если коэффициент усиления достаточно велик, то  $U' = 0$ . Тогда, учитывая, что  $R_1$  является нагрузкой для УДН<sub>1</sub>, запишем уравнения, описывающие работу схемы:

$$U_{\text{УДН}1} = \frac{U_{0g01}}{g_{01} + g'_1 + G_{01}f'_1(U_{\text{упр}}) + g_1}$$

$$U_{\text{УДН}1} = -U_1g;$$

$$U_{\text{УДН}2} = \frac{U_2g_{02}}{g_{02} + g'_2 + G_{02}f'_2(U_{\text{упр}}) + g_n},$$

где индекс 1 и 2 означает параметр соответствующего УДН.  
Если транзисторы одинаковы, т. е.

$$G_{01}f'_1(U_{\text{упр}}) = G_{02}f'_2(U_{\text{упр}}),$$

то

$$U_{\text{УДН}2} = \frac{U_2g_{02}U_1 \frac{g}{g_{01}g_1}}{U_0 + \frac{g}{g_{01}g_1} U_1(g_{02} - g_{01}) + (g'_2 - g'_1) + (g_n - g_1)}.$$

Таким образом, может быть реализован комплекс множительно-функциональных зависимостей, аналогичных известным зависимостям, воспроизводимым нагруженным линейным потенциометром и нагруженным импульсным делителем напряжения [3].

Сигналы  $U_{\text{упр}}$  и  $-U_{\text{упр}}$  могут быть поданы на несколько выходных УДН, сигналы которых можно суммировать с помощью операционного усилителя. Характеристики таких функциональных преобразователей имеют вид

$$U_{\text{вых}} = \sum_{i=1}^n \frac{a_i U_{\text{вх}}}{b_i U_{\text{вх}} + c_i}. \quad (3)$$

Методика определения коэффициентов выражения (3) для построения аппроксиматоров различных функций и некоторые практические аппроксимирующие зависимости такого вида представлены в [3].

Если параметры пассивных элементов в схеме с двумя УДН одинаковы, то, как известно, выполняется множительно-делительная зависимость

$$U_{\text{УДН}2} = \frac{g}{g_{01}} \frac{U_2 U_1}{U_0}.$$

При переменном сопротивлении нагрузки необходимо на выходе схемы включать операционный усилитель, причем  $R_n$  будет играть роль входного сопротивления этого усилителя, а сопротивление обратной связи будет задавать масштаб вычислений. Тогда

$$U_{\text{вых}} = \frac{R_{0c}}{R} \frac{U_1 U_2}{U_0}.$$

Добиться идентичности параметров и дрейфа характеристики двух полевого транзисторов существенно проще, чем подбирать и стабилизировать параметры одного транзистора. Причем, как показывают эксперименты, транзисторы, имеющие одинаковые параметры при нормальной температуре, имеют приблизительно одинаковый температурный дрейф.

В практической схеме использовались подобранные в пару транзисторы с  $n$ -каналом, имеющие сопротивление  $R_0 = 60$  Ом. Так как шкала вырабатываемых УДН сигналов составляет всего 100 мВ, для обеспечения высокой точности усилитель постоянного тока должен иметь дрейф, не превышающий долей милливольта. Был разработан усилитель постоянного тока с модуляцией и демодуляцией входного сигнала, с параллельной схемой

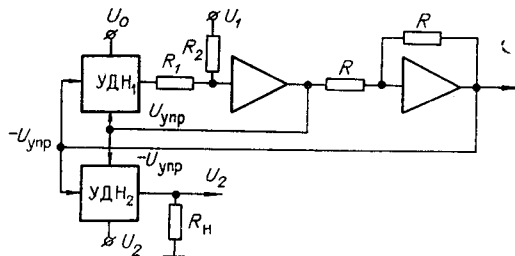


Рис. 2.

мой стабилизации дрейфа, представленный на рис. 3. В качестве основного усилителя применен интегральный балансный УПТ, имеющий суммарный приведенный дрейф в пределах единиц милливольт.

Модулятор и демодулятор стабилизирующего усилителя выполнены на канальных транзисторах типа КП-102, а собственно усилитель состоит из истокового повторителя и интегрального усилителя переменного тока. Коэффициент передачи стабилизирующего усилителя около 100. Данные усилителя: входной ток менее 20 нА; суммарный времен-

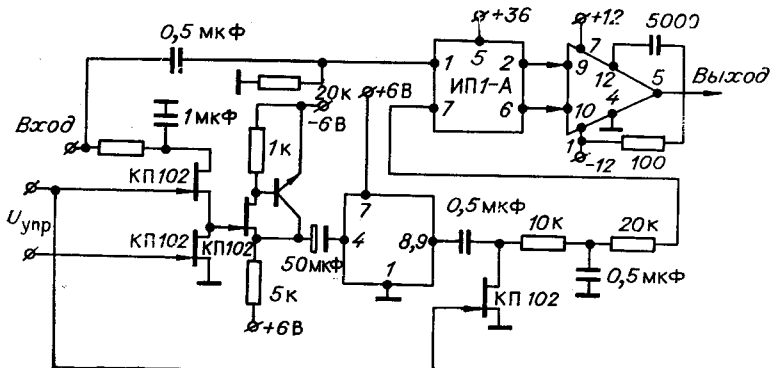


Рис. 3.

ной и температурный дрейф ( $t = -5 \div 60^\circ\text{C}$ ), приведенный к входу не более 100 мкВ; коэффициент усиления по постоянному току  $10^5$ . Инвертирующий усилитель цепи компенсации (см. рис. 1, в) может быть менее точным. Вполне достаточно использование интегрального дифференциального УПТ без цепей коррекции дрейфа.

Резисторы должны выполняться с точностью до 0,2% и обеспечивать широкую полосу пропускания. Целесообразно реализовать пассивную часть устройства в виде пленочной микросхемы. Устройство экспериментально исследовалось при воспроизведении множительной зависимости в одном квадранте в температурном диапазоне 0—60° С. Ошибки устройства не превышают 0,3%.

Полоса пропускания с точностью до 1% по каналу  $U_2$  составляет 200 кГц. Для канала  $U_1$  полоса пропускания зависит от амплитуды входного сигнала. Для сигнала размахом в полную шкалу полоса пропускания 30 кГц, а в половину шкалы — 150 кГц.

#### ЛИТЕРАТУРА

1. F. H. Crawford, W. S. Adams. FET — Conductance multipliers.— Instrum. and Contr. Syst., 1970, v. 43, № 89.
2. P. Ziefried, W. Lange. Eine einfache analog Multiplizierstufe mit FET.— Mess-technik, 1969, № 7/8.
3. В. Б. Смолов, Е. П. Угрюмов. Время-импульсные вычислительные устройства. Л., «Энергия», 1968.

Поступила в редакцию  
30 марта 1971 г.